ELEMENTS DE PHONOLOGIE DIACHRONIQUE DU WANZI (LANGUE BANTU DU GABON - GROUPE B50)

Jean-Marie HOMBERT et Médard MOUELE

Abstract

In this brief paper we establish correspondences between Proto-Bantu reconstructions and corresponding forms attested in (li)-wanzi, a Bantu language spoken in Gabon. It appears that

- a) the four Proto-Bantu tone patterns are preserved in Wanzi
- b) vowel correspondences indicate a recent influence from Nzebi and suggest that Wanzi may retain traces of an earlier vowel harmony system
- c) a number of double reflexes probably not accountable for by borrowing point towards an earlier fortis/lenis distinction.

These stimulating hypotheses will be investigated in the near future by careful comparisons with neighboring Bantu languages.

0. Introduction

Le wanzi (ou liwanzi) est une langue bantu parlée au Gabon dans les régions de Moanda et Lastoursville.

Cette langue, non répertoriée par Jacquot (1978), fait partie du groupe B50 avec le duma, le $nz \varepsilon bi$ et le $t s a \eta gi$.

Nous nous proposons ici d'établir l'évolution segmentale et tonale du wanzi en comparant les reconstructions du Proto-Bantu de Guthrie (1971) avec les formes attestées en wanzi dont le second auteur est un locuteur natif.

Les travaux de Nsuka Nkutsi (1980) sur le punu et de Blanchon (1987) sur le nz ɛ b i ont servi de point de départ à notre travail.

Le but de ce travail est triple :

- comprendre l'évolution diachronique du wanzi;
- contribuer à une classification interne des langues bantu de zone B. Des études diachroniques similaires sont en cours sur la plupart des langues du Gabon; la

confrontation des résultats de ces études permettra d'élaborer une classification de ces langues sur la base des changements phonétiques et des innovations lexicales;

- permettre, à partir des correspondances établies, d'élargir le nombre de reconstructions régionales en particulier concernant les lexiques spécialisés.

1 Phonologie synchronique

Nous ne rappellerons ici que les inventaires des systèmes tonal, vocalique et consonantique obtenus à partir d'un lexique d'environ 500 thèmes de structure $C_1V_1C_2V_2$.

L'étude approfondie du système phonologique du wanzi fera l'objet d'une publication séparée (Mouélé, en préparation).

1.1. Système tonal

Comme le montre le tableau ci-dessous, les réalisations des schémas tonals des mots prononcés en isolation peuvent être affectées par l'absence du préfixe (i.e. préfixe Ø).

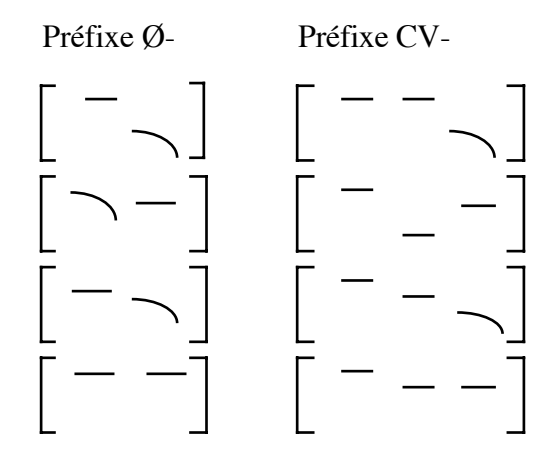


Tableau 1 - Réalisations tonales des mots en isolation (avec préfixe Ø- et avec préfixe CV-).

La correspondance entre les formes à préfixe \emptyset et celles à préfixe CV peut être facilement obtenue en comparant les formes du singulier et du pluriel dans les exemples suivants :

	Singulier		Pluriel	
"chèvre"	taβa	[-]	bataßa	$\left[\right]$
"boîte"	koβε	$[\overline{}]$	makoβε	$\begin{bmatrix} - & - \end{bmatrix}$
"singe"	kema	$[- \searrow]$	bakema	
"crabe"	kala	$\begin{bmatrix} \end{bmatrix}$	bakala	$\begin{bmatrix} \end{bmatrix}$

1.2. Système vocalique

On rencontre 7 voyelles en position V_1 (i, e, ϵ , a, \mathfrak{I} , o, u) et seulement 5 en position V_2 (e et o n'apparaissent pas comme voyelles finales). Il y a en outre de nombreuses restrictions de co-occurrence entre V_1 et V_2 des structures $C_1V_1C_2V_2$ (cf. tableau 2).

i – i		i-a		i –u
e – i		e-a		e-u
	ε-ε			
a – i		a-a		a-u
	3-c		c-c	
o – i		0-a		0-u
u – i				u-u

Tableau 2 - Combinaisons possibles des voyelles V_1 et V_2 dans les structures $C_1V_1C_2V_2$.

1.3. Système consonantique

Vingt et une consonnes sont attestées en position C_1 , cinq d'entre elles ne se retrouvent pas en position C_2 . Ces dernières apparaissent entre parenthèses dans le tableau 3.

p		t		k
(b)		(d)		
	(f)	S		
β				У
		(ts)		
		1	y	
		r		
m		n	ŋ	
mb		nd		ŋg
	(mv)	n z		

 $\begin{array}{lll} \text{Tableau 3 -} & \text{Syst\`eme consonantique du wanzi (les consonnes qui n'apparaissent} \\ & \text{qu'en position } C_1 \text{ sont indiqu\'ees entre parenth\`eses)} \end{array}$

A noter que la fricative vélaire γ se palatalise et se devoise fréquemment devant $i:\gamma\to j/_i$.

En outre, il y a variation libre pour les fricatives dentales devant i, celles-ci pouvant être réalisées avec un lieu d'articulation palatal : $si \sim \int i$, $tsi \sim t \int i$, $nzi \sim nzi$.

2 Etude diachronique

2.1. Evolution des schèmes tonals

Les formes présentées en 1.1 font apparaître les correspondances avec les quatre schèmes du Proto-Bantu :

*BB *tàbà "chèvre" CS1635

Pholia 3 - 1988

```
*BH *kòbé "boîte" CS1097 1/2

*HB *kímà "singe" CS1058

*HH *kádá "crabe" CS981
```

Les correspondances tonales sont très clairement établies dans les exemples cités en annexe; on trouve toutefois quelques irrégularités que nous ne pouvons expliquer pour le moment.

Le wanzi préserve donc la distinction entre les quatre schèmes tonals du Proto-Bantu sur les structures $C_1V_1C_2V_2$, même pour les mots pris en isolation.

2.2. Evolution du système vocalique

Rappelons que le Proto-Bantu a été reconstruit avec sept voyelles : *i, *i, *e, *a, *o, *u, *u, *u, *u (i et u étant des voyelles très fermées). On serait tenté de penser que les sept voyelles attestées en position V_1 en wanzi correspondent directement à ces sept voyelles. Or, comme l'a montré Blanchon (1987) pour une langue géographiquement et linguistiquement proche, le $n z \epsilon b i$, il n'en est rien.

Le tableau 4 récapitule les correspondances vocaliques entre les structures $C_1V_1C_1V_2$ du Proto-Bantu et du wanzi. Cette récapitulation s'appuie sur les données présentées en annexe.

On remarquera que certaines combinaisons V₁ - V₂ du Proto-Bantu

- 1) n'ont pas de réflexes en wanzi : * i i , * i e , * e i etc.
- 2) ont deux types de réflexes en wanzi :

```
*i_{-0} > i_{-u} \text{ et } i_{-a}

*i_{-0} > i_{-u} \text{ et } i_{-a}

*u_{-a} > u_{-a} \text{ et } u_{-u} \dots
```

En ce qui concerne la première remarque, les restrictions observées peuvent représenter les vestiges d'un système d'harmonie vocalique. En effet, les restrictions semblent être le plus nettement marquées entre degrés d'aperture adjacents : pas de réflexes de * i - i , * i - e , * e - i , * o - u , * u - u . La plupart des

*V ₁	į į	i	e	a	0	u	ų
i į	i – i		i – i	i – a	i – u i – a] [i – u i – a]	
-	(4)		(1)	(8)	(7)	(1)	
i	i – i	i – i		e-a	i – u	i-u i	-u
	(1)	(5)		(10)	[(4)	i – a] [i	[-a] (1)
e	e-i		ε-ε			e-u	
	(3)		(9)	(1)	e-a] [(3)	e-a] (1)	
a	a-i	a – i	a – i	a-a		a – u	
	(7)	(8)	(4)	(25)	[a-a] [(8)	$\begin{bmatrix} \mathbf{a} - \mathbf{a} \end{bmatrix}$ (5)	
	o – i		з-с	2-2	p-p		-u
0	(6)		(3)	(4)	(6)		(1)
u	u-i	u-i				u-u	
	(2) u-i	(6) u-i		(6) u-a	(4) u-u	(16)	 -u
ų	U	U 1		u-a [u-u]	u u		
y	(3)	(3)		(4)	(3)		(5)

Tableau 4 - Correspondances Proto-Bantu - Wanzi des combinaisons V_1 - V_2 (Le nombre d'exemples pour chaque combinaison V_1 - V_2 est indiqué entre parenthèses. Lorsqu'il y a deux prononciations possibles, la forme récente, utilisée par la jeune génération, est mise entre crochets).

situations qui sont incompatibles avec ce système ne comporte qu'un faible nombre

d'exemples. En outre, nous attirons l'attention du lecteur sur le fait que le nombre d'exemples de réflexes de la voyelle a est très élevé - aussi bien en position V₁ qu'en position V₂; ceci est parfaitement cohérent avec l'évolution d'un système d'harmonie vocalique de type RLA (racine de la langue avancée), telle que l'on peut l'observer dans de nombreuses langues d'Afrique occidentale où les voyelles d'aperture maximum des sous-systèmes [+RLA] et [-RLA] sont les premières à fusionner.

La seconde remarque concernant l'existence de deux types de réflexes de combinaisons V_1 - V_2 est facilement explicable par l'influence de la langue voisine, le $n\,z\,\epsilon\,b\,i$, sur la jeune génération de locuteurs wanzi. En effet, les formes utilisées par les jeunes, et indiquées entre crochets dans le tableau 4, correspondent exactement aux réflexes réguliers du Proto-Bantu en $n\,z\,\epsilon\,b\,i$ présentés par Blanchon (1987).

2.3. Evolution du système consonantique

Comme pour les voyelles, les tableaux récapitulatifs des correspondances consonantiques entre Proto-Bantu en wanzi (tableau 5 pour la position C_1 et tableau 6 pour la position C_2) s'appuient sur les données présentées en annexe.

On notera que certaines évolutions sont phonétiquement conditionnées alors que pour d'autres, on semble avoir deux réflexes distincts à partir du même protophonème.

2.3.1. Evolutions phonétiquement conditionnées

Les explications phonétiques de ces conditionnements feront l'objet d'un travail séparé (Hombert, en préparation). Nous nous bornerons ici à relever ces conditionnements.

Proto-Bantu	wanzi
р	p, β f/-*u
t	f /-* u t,(r) s/-* i
С	ts, s
k	k f /-*
b	b,(β) b/m- v/m-*ų
d	l,(d) d/n- z/n-* į
j	y z/n-
g	k g/ŋ- v/m-*ụ
m	m
n	n
ŋ	л

Tableau 5 - Correspondances PB-
wanzi des consonnes
en position position C ₁

Proto-Bantu	wanzi
p	р, β
t	t,(r) s/-* i
С	S
k	k, y
b	β
d	l, r
g	k, y
m	m
n	n r /-* <u>i</u>
ŋ	n
mb	mb
nd	n d
n j	n z
ŋg	ŋg

 $\begin{array}{c} \text{Tableau 6 - Correspondances PB-} \\ \text{wanzi des consonnes} \\ \text{en position } C_2 \end{array}$

Pholia 3 - 1988

a) Les voyelles fermées

Comme dans de nombreuses langues bantu, les voyelles superfermées * i et * u ont influencé les consonnes qui les précédaient.

Ainsi *p et *k > f /_ *
$$\psi$$

*b et *g > v / m_ * ψ
*t > s /_ * ψ
*n > r /_ * ψ comme le montrent les exemples suivants :

CS1620	"sac"	*pýkò	>	fuku	°BB
CS1628	"paiement"	*pùtò	>	mafutu	°BB
CS1264	"gloire"	*kýmò	>	l i f umu	°HB
CS1274	"court"	*kýpí	>	bufuβi	°HH
CS225	"pluie"	*býdà	>	mvula	°HB
CS226 1/2	"koudou"	*bùdì	>	mvuri	°BB
CS906	"bouclier"	*gùbà	>	$mvu\beta a$	°BB
CS909	"force"	*gùdù	>	limvuru	°BB
CS1755	"racine"	* t į́ n à	>	lisina	°HB
CS1762	"ficelle"	* t į ŋgà	>	musiiŋga	°HB
CS1786	"tache"	* t ố n ì	>	litori	°HH
CS2121	"oiseau"	* y ò n ì	>	nori	°BH

b) Les consonnes nasales en position préfixe

Lorsque la consonne C_1 était une occlusive voisée en Proto-Bantu, celle-ci a été préservée lorsqu'elle était précédée par un préfixe nasal :

$$N - b > mb, N - d > nd, N - g > ng.$$

Dans le même contexte, lorsque l'occlusive était sourde, elle a également été préservée mais la nasale est tombée :

$$N - p > p, N - t > t, N - k > k.$$

c) Les consonnes prénasalisées en position C2

Dans la plupart des cas, la voyelle V₁ qui précède la consonne prénasalisée en position C₂ est allongée. Notons d'ailleurs que Guthrie a généralement proposé des reconstructions doubles, soit avec voyelles brèves, soit avec voyelles longues dans ces contextes.

Il est important de remarquer que l'on peut trouver un nombre non négligeable de contre-exemples en wanzi; c'est-à-dire des cas où l'on trouve une voyelle brève devant consonne prénasalisée.

Exemples : "bruit de pas"	likindu	°HB
"mouche"	ŋgiŋgi	°BB
"écureuil (var.)"	t s i nd i	°HH
"rat (var.)"	$mb\epsilon nd\epsilon$	°HH
"mâchoire"	mubanga	°HH
"lance"	likongo	°BH
"estomac"	ufundu	٥НН

Le wanzi est particulièrement intéressant à ce sujet car c'est, à notre connaissance, la seule langue de la région à faire une distinction très nette (i.e. facile à percevoir) entre les voyelles longues et les voyelles brèves devant consonnes prénasalisées.

2.3.2. "Doubles réflexes"

Dans les tableaux 5 et 6 on peut voir que pour les consonnes *p, *t, *c, *b, *d du Proto-Bantu en position C₁ (tableau 5) et *p, *t, *k, *d, *g en position C₂ (tableau 6), on obtient deux réflexes en wanzi. Lorsque l'un des deux réflexes est entre parenthèses, cela indique que nous n'avons que très peu d'exemples pour illustrer cette correspondance. En voici la liste :

Pholia 3 - 1988

* t	> 1	:	:	CS1661	"piège"	*támbò > muraambu	°HB
				CS1947	"buffle"	*yátì > nari	°HB
* b	> [3 :	:	CS68	"cuisse"	*bèdè > liβεlε	°BB
*d	> 0	1 :	:	ps153	"embrasure de porte"	dàngò > mudaangu	°BB
				CS744	"pluie incessante"	*dùmbí > muduumbi	°BH

Etant donné le nombre très réduit de ces cas, la première hypothèse serait de considérer qu'il s'agit là d'emprunts. Nous ne pourrons approfondir cette piste que par une étude des évolutions diachroniques des langues voisines. Disons seulement que les travaux préliminaires que nous avons pu faire sur le $n z \varepsilon b$ i (Hombert et de Nadaillac, en préparation) ne semblent pas confirmer cette hypothèse. En outre, il serait difficile d'expliquer par des emprunts les autres cas de doubles réflexes pour p, p, p en position p0 de nombre d'exemples est comparable pour les deux réflexes.

On est alors amené à envisager l'existence d'une opposition fortis/lenis à une étape antérieure comme cela a déjà été fait à partir des données provenant d'autres langues bantu de la zone A (comme le tunɛn) ou de la zone B (comme le punu) Cette piste est évidemment particulièrement intéressante et débouche sur de nombreuses questions concernant entre autres le "domaine" de cette distinction fortis/lenis : était-elle limitée à la consonne C_1 et se serait-elle alors étendue - dans certains cas seulement (?) - en C_2 par un processus d'harmonie consonantique, ou bien était-elle limitée au préfixe - pour être ensuite transférée sur C_1 ? Plaide en faveur de cette hypothèse le fait que l'alternance singulier/pluriel est parfois marquée par une alternance fortis/lenis en C_1 dans plusieurs langues du groupe voisin B40 (e.g. massango et ngubi - cf. genre 11/10 dans Puech 1988). Ce passage d'une distinction fortis/lenis du préfixe vers la consonne C_1 aurait pu être favorisé par le rôle grandissant joué par l'accent sur la première syllabe du thème.

Conclusion

Nous avons présenté les correspondances tonales et segmentales entre le

Proto-Bantu et le wanzi. Les données tonales montrent clairement que les quatre schèmes du Proto-Bantu sont préservés en wanzi même pour les mots en isolation. L'examen des correspondances vocaliques indique une influence récente du nz ɛ b i sur le wanzi et suggère l'existence de traces d'un système d'harmonie vocalique dont la nature exacte reste à déterminer. En ce qui concerne les consonnes, mis à part des évolutions phonétiquement conditionnées répandues dans le domaine bantu, le wanzi semble apporter une contribution au débat sur l'existence ou non d'une distinction fortis/lenis à une étape antérieure.

Nous ne pourrons faire progresser ces hypothèses - sur l'existence d'un système d'harmonie vocalique de type [RLA] et d'une distinction fortis/lenis, et d'un lien éventuel entre ces deux hypothèses - que par une comparaison minutieuse entre les langues dans lesquelles des évolutions semblables ont pu être observées (voir contributions de Bancel et Van der Veen dans ce volume).

REFERENCES

- BANCEL P. (1988) "Double reflexes in Bantu A.70 languages", Pholia 3, 7-16.
- BLANCHON J.A. (1987) "Les voyelles finales des nominaux en nzɛbi (B52)", *Pholia* 2, pp. 23-45.
- GUTHRIE M. (1971) Comparative Bantu, vol. 2, Gregg Int. Pub.
- HOMBERT J.M. (en préparation) "Explications des évolutions phonétiques dans les langues du Gabon".
- HOMBERT J.M. et L. de NADAILLAC (en préparation) "Evolution du système consonantique du n z ɛ b i ".
- MOUELE M. (en préparation) "Etude phonétique et phonologique du wanzi".
- NSUKA NKUTSI F. (1980) "Quelques réflexes du proto-bantou en punu", in Nsuka Nkutsi (ed.) *Eléments de description du punu*, Université Lyon 2 C.R.L.S.
- PUECH G. (1988) "Augment et préfixe en ngubi", *Pholia* 3, pp. 243-256.
- VAN DER VEEN L. (1988) "Caractéristiques principales du groupe B30 (Gabon)", *Pholia* 3, pp. 271-290.

ANNEXE

Correspondances entre les reconstructions du Proto-Bantu et les formes attestées en wanzi. Les numéros des séries comparatives (Guthrie 1971) sont indiqués dans la colonne de gauche; les tons sous-jacents en wanzi ainsi que les glissements sémantiques sont indiqués dans les deux dernières colonnes de droite. Les formes wanzi sont présentées accompagnées de leur préfixe de classe.

		V	$V_1 = i$ $V_2 = i$		
ps 33	mbídí	suie	limbiri	°HH charb	on
613	dígì	ficelle	munziγi	°HB	
832	gìŋgì	mouche	ŋgiŋgi	°BB	
2025	уį́bį̇́	voleur	muyiβi	°HB	

Pas de réflexe de $V_1=\ \mbox{\it i}$, $V_2=\ \mbox{\it i}$.

		$V_1 = i$	$V_2 = e$	
1079	kįgé	sourcil	mukiki	°НН
		$v_1 = \mathbf{i}$	$V_2 = a$	
139	b į c à	dos	mb i s a	°HB
603	díbà	point d'eau	unzi βa	°HB crique profonde
630	dítà	noeud	linzita	°BH
823	gìdà	interdit	ŋgila	°BH sanctuaire
824	gìdá	sang	makila	°BH
1556	рį́́ла̀	pus	liβina	°HB
1755	tínà	racine	lisina	°HB
1763	t į́ ng à	veine	musiiŋga	°HB corde

Pholia 3 - 1988

		$V_1 = i$	$V_2 = 0$	
150	bìndò	saleté	mbiindu / a	°BB
1085	kíndò	bruit de pas	likindu / a	°HB
1086	kįŋgò	cou	likiiŋgu / a	°НН
1549	pígò	rein	lipiku / a	°HB
2030	у́çcò	oeil	nziisu / a	°HB
2056	y į kò	foyer	nziiku / a	°HB
2073	y į nò	dent	nziinu / a	°HB
		$V_1 = i$	$V_2 = u$	
619	dímù	esprit, âme	unzimu / a	°HB image, esprit
Pas de réfle	exe de V ₁ =	${\mathfrak{i}},v_2{=}{\mathfrak{y}}$		
		$V_1 = i$	$v_2 = i$	
2007	yímì	grossesse	yimi	°НВ
		$V_1 = i$	$V_2 = i$	
340	cíndí	écureuil	tsindi	°НН
572x	dímì	langue	lilimi	°HB
1511	pìcí	os	liβisi	°BH
1513	pídì	vipère	pili	°HB
1526	píndí	tibia	mußiindi	°НН
Pas de réfle	exe de V ₁ =	$i, V_2 = e.$		
		$V_1 = i$	$V_2 = a$	
108	bídà	annonce	mbela	°HH appel
110	bídá	trou	libela	°НВ

Pholia 3 - 1988

128	bíndá	calebasse	mbeenda	°НН
131	bìŋgá	pigeon (var.)	mbeeŋga	°BH
941	jìdá	chemin	n z e 1 a	°BH
1053	kídà	queue	mukela	°НВ
1058	kímà	singe	kema	°НВ
1517	pìkà	esclave	muβeγa	°BB
1738	t ímà	coeur	mu t ema	°НВ
1996	yìgá	argile	nzeeka	°BH
		$V_1 = i$	$V_2 = o$	
566	dìdò	frontière	mundilu / a	°BB
577	dìmbò	signe	ndiimbu / a	°BB
578	dìmbò	glu	buliimbu / a	°BB
2010	yímbò	chanson	liimbu / a	°HB
		$V_1 = i$	$V_2 = \mathbf{u}$	
116	bìdú	noix de kola	libiru / a	°BH
560y	dìbù	cloche	ndiβu / a	°BH grelot
ps 170	dìgù	ami, parent	munziγu / a	°BH relation
1534	pìŋgú	fétiche	muβiiŋgu / a	°BH mystère
		$V_1 = i$	$v_2=\mathtt{\psi}$	
103	bícù	cru, vert	bisu / a	°НВ
		$V_1 = e$	$v_2 = \mathfrak{i}$	
ps 158	dèdì	barbe	nderi	°BB
801	gèdì	ruisseau	mukeri	°BH
1965 1/2	yèdì	sagesse, prudence	buyeri	°НВ

Pholia 3 - 1988

Pas de réflexe de $V_1 = e$, $V_2 = i$.

Pas de réflexe de $V_1 = e$, $V_2 = \psi$.

		$V_1 = e$	$V_2 = e$		
68	bèdè	cuisse	1 i βε 1 ε	°BB	haut de la cuisse
91	béndé	rat (var.)	$mb\epsilon nd\epsilon$	°HH	
310	cégé	prairie	t s ε γ ε	°HB	
311 313	cégé, céké	grains miettes	t s ε γ ε	°BB	
ps 95	cété	clou	t s ε t ε	°HH	
522	dègè	oiseau tisserin	$nd\epsilonk\epsilon$	°BB	
543	dèŋgè	citrouille	lileenge	°BB	
1477	pémbé	argile blanche	lipεεmbε	°HH	
1722	tètè	panier	$mu\ t\ \epsilon\ t\ \epsilon$	°BB	
		$V_1 = e$	$V_2 = a$		
325	cèŋgà	sable	litseenge	°BB	grain de sable
		$V_1 = e$	$V_2 = 0$		
317	cémbò	corne	tseembu / a	°HB	
538	démbó	doigt	muleembu / a	°HB	
802	gègò	molaire	likeku / a	°BB	
		$V_1 = e$	$V_2 = u$		
804	gèmbú	chauve-souris	liŋgeembu / a	°BH	

Pholia 3 - 1988

		$V_1 = a$	$V_2 = i$		
25	bàdì	hier, demain	mbari	°BB	
28	bádí	espace ouvert	mbari	°BH	cour
ps 146	dàdì	folie	lari	°BB	
922	jàdí	éclair	nzari	°BH	fusil
986	kádì	épouse	mukari	°HH	
1014	kápí	pagaie	likapi	°HB	
1898	yàdí	huile	maari	°BH	
		$V_1 = a$	$V_2 = i$		
23	bádì	côté	ubari	°BB	
43	bámbí	varan	mbaambi	°HB	
56	bànjí	côte	libaanzi	°BH	
984	kádì	féroce	mukari	°BB	homme furieux
984 1/2	kádì	acidité	kali	°BB	amertume
1018	kàtí	dedans	kati	°BH	
1659	t ámb í	plante des pieds	litaambi	°HH	
1947	yátì	buffle	nari	°HB	
		$V_1 = a$	$V_2 = e$		
21	bádè	palmier	limbari	°HB	
921	jádé	rivière	nzali	°HH	
925	jàmbé	dieu	nzaambi	°BH	
1644	tádè	fer	utali	°HH	
		$V_1 = a$	$V_2 = a$		
17	bádà	mariage	libala	°HB	
36	báká	couteau	libaka	°HH	couteau de guerre

Pholia 3 - 1988

52	bàndà	vallée	baanda	°HH	aval
55	bánjà	cour	mbaanza	°HH	case à
					palabre
61	báŋgá	mâchoire	mubaŋga	°HH	
248	cádá	plume	litsala	°HH	
250	cádá	travail	usara	°HH	
472	dákà	voix	ndaya	°HH	
786	gàŋgà	guérisseur	ngaanga	°BB	
917	jàdà	famine	nzala	°BB	
979 1/2	kàdà	temps révolu	k a l a	°BB	
980	kádà	charbon	likala	°HB	
981	kádá	crabe	k a l a	°HH	
997	kámá	cent	mukama	°HH	
1015	kàtà	testicule	likata	°BB	pénis
1016	kátà	coussinet de	kata	°HB	action de
		portage			porter un enfant sur
					les genoux
1286	mánà	pierre	limana	°BH	
1339	nàmà	cuisse	unama	°BB	
1407	pácà	jumeaux	ma βa s a	°HB	
1437	pánjà	calvitie	panza	°HH	front
1443	páŋgá	mouton	muβaaŋga	°BH	bélier castré bouc castré
1635	tàbà	chèvre	taβa	°BB	
1640	t á d á	échafaudage	utala	°HH	
1894	yádá	ongle	lipara	°HB	
1909	yàmà	viande	nama	°BB	
		$V_1 = a$	$V_2 = o$		
292	càngò	nouvelle	tsaaŋgu / a	°BB	

Pholia 3 - 1988

293	càŋgó	fétiche, charme	musaaŋgu / a	°HH protection, parure
ps 153	dàngò	porte, embra- sure de porte	mudaangu / a	°BB clarté lunaire
505	dàpò	serment, juron	mulaβu / a	°BB
1650	tákò	fesse	litaγu / a	°HB
1661	t ámb ò	piège	muraambu / a	°HB
1671	tàntò	pont	mutaatu / a	°HB
1919	yàmbò	affaire	nzaambu / a	°BB
		$V_1 = a$	$V_2 = \mathbf{u}$	
ps 8	bàgú	$V_1 = a$ pierre d'achoppement	$V_2 = u$ libaku / a	°BH
ps 8 269	bàgú càmbù	pierre	2	°BH
-	Ü	pierre d'achoppement	libaku / a	
269	c àmb ù	pierre d'achoppement sept	libaku / a tsaambu	°BB

Pas de réflexe de $V_1=a$, $V_2=\psi$.

		$V_1 = o$	$v_2 = i$	
646	dògì	sorcellerie	bu l o y i	°BB
849	gòdí	corde	ŋgori	°BH sangle
1101	kócį	chef	kosi	°HH var. de léo- pard (chef (des anim.)
1786	tónì	tache	litori	°НН
2121	yònì	oiseau	nori	°BH
ps 453y	yótì	tout	yosi	°BH

Pas de réflexe de V_1 = 0, V_2 = i.

Pholia 3 - 1988

		$V_1 = o$	$V_2 = e$			
849	gòmbè	vache	ngombe	°HH		
855	gòndè		ηgondε	°BB		
1097 1/2	kòbé	boîte	k ο β ε	°BH	boîte conte-	
					nant des objets sacrés	
		$V_1 = o$	$V_2 = a$			
159	bòmà	python	cmcdm	°BB		
857	gòŋgá	lance	likongo	°BH		
844	gòmà	tambour	cmcgn	°BB		
1095	kóbà	peau	mukoβo	°HH		
		$V_1 = o$	$V_2 = 0$			
170	bóŋgó	genou	liboongo	°НН		
640	dóbò	hameçon	l i l oßo	°HB		
647	dògò	sorcellerie	$c \gamma c b n$	°BB	malheur, malédiction	
668	dòŋgó	sol	liloongo	°BB	terre, pays	
ps 460	tòdó	sommeil	t o l o	°BH		
ps 466	tótò	sol	toto	°BH		
Pas de réflexe de $V_1 = o$, $V_2 = u$.						
		$V_1 = o$	$v_2 = \mathfrak{q}$			
951	jògù	éléphant	nzoku / a	°BB		
		$V_1 = \mathbf{u}$	$V_2 = i$			
1208	kúmì	dix	l i kum i	°HB		
1218	kúnì	bois de chauff.	likuni	°HB		

Pholia 3 - 1988

$V_1 = u$ $V_2 = i$					
178	bùbì	araignée	libuβi	°BB	araignée (var.)
ps 47	búkì	docteur	mbuy i	°HH	médicament
411	cùkí	cheveu	tsuyi	°BH	
ps 193	dúmì	mari	mu 1 um i	°HB	
1213	kúmbí	cigogne (var.)	kuumbi	°HH	pique-boeuf
2156	yúkì	abeille	ηuγi	°HB	
Pas de réfle	exe de V_1 =	$u,V_2=e.$			
		$V_1 = \mathbf{u}$	$V_2 = a$		
190	bùgà	espace ouvert	mboya	°BB	endroit
895	gùmbá	porc-épic	ŋgoomba	°BH	athérure
900	gùŋgà	cloche	ŋgooŋga	°BB	
1194	kúdà	groupe d'âge	likola	°HB	maturité précoce
1221	kúndá	pigeon (var.)	likoonda	°НН	1
1236	kúpá	tique	kopa	°HH	
		$V_1 = \mathbf{u}$	$V_2 = o$		
205	búŋgò	plage	libuuŋgu	°НН	rive dégagée
210 1/2	bútò	parent	mubutu	°HB	descendance
211	bútò	graine	mbutu	°HB	
1822	túdò	poitrine	t u l u	°HB	
		$V_1 = \mathbf{u}$	$V_2 = \mathbf{u}$		
207	bùŋgú	asticot, ver	mbuuŋgu	°BH	

tsusu

402

cúcú

poule

°HH

Pholia 3 - 1988

408	cùdù	odeur	t s u l u	°BB	
718	dúŋgú	piment	nduuŋgu	°HH	
898	gùndú	queue	liŋgundu	°HH	bas du dos
959	jùdú	ciel	y u 1 u	°BH	
960	jútù	corps	nu t u	°HB	
965 1/2	jùndù	enclume	nzuundu	°BB	
ps 267	jùŋgú	marmite	nzuuŋgu	°BH	
1187	kùcù	perroquet	kusu	°BB	
1195	kúdù	frère aîné	mukulu	°HH	
1242	kùtú	scorpion	ukuru	°HH	punaise
1244	kútù	sac	kutu	°HB	panier (var.)
1597	púkù	rat (var.)	puγu	°HB	rat (génér.)
1603	púŋgù	aigle (var.)	lipuŋgu	°НН	chauve- souris (var)
2151	yúdù	nez	liyulu	°HB	, ,

Pas de réflexe de $V_1 = u$ et $V_2 = u$.

		$v_1 =$	$\mathfrak{y} \qquad v_2 = \mathfrak{z}$	
226 1/2	bùdì	koudou	mvuri	°BB sitatunga
ps 415	pýdì	souffle	mufuri	°HB
ps 416	pýdì	mousse	lifuri	°НВ
		V ₁ =	$v = v_2 = i$	

744	dùmbí	pluie incessante	muduumbi	°BH
910	gùmbí	poussière	mvuumbi	°BH cadavre
1274	kúpí	court	bufuβi	°HH

Pas de réflexe de $V_1 = \mathfrak{q}$, $V_2 = e$.

Pholia 3 - 1988

		$V_1 = \mathbf{y}$	$V_2 = a$	
225	býdà	pluie	mvula / u	°HB
ps 134	cùbà	urine	masuβa / u	°BH
906	gùbà	bouclier	mvuβa / u	°BB
ps 337	kýmbá	charge	mufuumba / u	°BB paquet
		$v_1=\mathtt{y}$	$V_2 = 0$	

1264 kýmò gloire, célébrité 1 i f umu °HB 1620 pýkò sac f uku °BB 1628 pýtò paiement ma f u t u °BB

Pas de réflexe de $V_1 = \psi$, $V_2 = u$.

		$V_1 = \mathbf{y}$	$v_2 = v$	
434	cýgỳ	jour (de 24 h)	litsuyu	°HB
908y	gỳbý	hippopotame	$mvu\beta u$	°BH
909	gùdù	force	limvuru	°BB
ps 252y	kùndú	estomac	ufundu	°НН
1384	nùnù	vieillard	ununu	°BB